

傾斜海浜上における有限振幅波の浅水碎波変形計算法

余錫平*・磯部雅彦**・渡辺晃***

1. 序 講

海浜上における波運動の解明は海岸工学の基礎であり、海岸・港湾構造物の建設、海岸の保護と開発、海岸環境の保全など多くの課題に不可欠であって、従来からいろいろな研究が行われてきた。自然の海浜や波の条件は複雑であるが、研究では簡単化のため、海浜上の波運動を二次元問題として扱い、また、深海からの入射波が規則波であり、海底が一樣勾配であると仮定することも多い。このような傾斜海浜上で深海から入射した波は浅水変形を経て、非線形性の影響により、波形の対称性を失って、碎波に至る。碎波した波は、そのエネルギーを著しく失いながら、汀線に近づく。

傾斜海浜上での波の浅水変形および碎波変形について多くの研究が行われているが、このうち、浅水変形の計算についてはエネルギーーフラックス保存則によるものが多い。碎波変形の計算に関しては、長波理論を用いて計算する研究があるが (Stoker, 1957), 室内実験および現地観測の結果に基づく半経験的なものがほとんどである。深海域から浅海域を経て、碎波点、さらに碎波帯に至るまでの一連の変形をすべて包括した理論的かつ実用的な研究はない。

本研究においては、著者らによって提案された非線形波運動の基礎方程式(余ら, 1989)を用いて、有限特性曲線法によって、傾斜海浜上を進行する波をシミュレートする。これにより、浅水変形による波高変化、波の非線形性の評価、および碎波点の位置(あるいは碎波水深)や碎波波高等の碎波特性を求めた結果を、実測結果と比較して、数値計算モデルの合理性を検証する。

2. 基礎方程式と計算法

波運動は非粘性非圧縮性流体の二次元運動とし、運動方程式としてオイラー方程式を用いる。鉛直方向の圧力分布を微小振幅の進行波によるものと同じであると仮定

して、底面における運動学的境界条件および自由水面における運動学的境界条件と力学的境界条件を考慮するとオイラー方程式を鉛直方向に積分することができる。その結果を、底面摩擦による運動量の損失を取り込んで修正すると、次のような水位変動 η および線流量 q に関する準線形双曲型連立偏微分方程式が得られる。

$$\frac{\partial \eta}{\partial t} + \frac{\partial q}{\partial x} = 0 \quad \dots \dots \dots \quad (1)$$

$$\begin{aligned} & \frac{\partial q}{\partial t} + 2\beta V \frac{\partial q}{\partial x} + (C_M^2 + \kappa_1 g \eta - \beta V^2) \frac{\partial \eta}{\partial x} \\ & + (\kappa_2 g \eta - \beta V^2) \frac{\partial h}{\partial x} + q V \frac{\partial \beta}{\partial x} \\ & + fw r^2 \frac{q|q|}{(h+n)^2} = 0 \quad \dots \dots \dots (2) \end{aligned}$$

ここに、 $C_M (= \sigma/k_M)$, σ : 角周波数, k_M : 修正波数) は次式で定義される修正波速であり,

$$C_M = \sqrt{\frac{g}{k_M} \tanh k_M(h + \eta)} \dots \dots \dots \quad (3)$$

また

$$\beta = n_M \alpha \quad \dots \dots \dots \quad (4)$$

$$\alpha = \frac{g(h+\eta)}{C_M^2} \dots \dots \dots \quad (5)$$

$$n_M = \frac{1}{2} \left[1 + \frac{2 k_M (h+\eta)}{\sinh 2 k_M (h+\eta)} \right] \dots \dots \dots (6)$$

$$\kappa_1 = \frac{2}{\alpha} - \frac{1}{\beta} - 1 \quad \dots \dots \dots \quad (7)$$

$$\kappa_2 = \frac{2}{\alpha} - \frac{1}{\beta} - \frac{1}{\cosh k_M(h+n)} \dots \dots \dots (8)$$

$$r = \frac{k_M(h+\eta)}{\sinh k_M(h+\eta)} \quad \dots \dots \dots \quad (9)$$

である。ここに、 h は水深、 $V = q/(h+\eta)$ は断面平均流速、 f_w は摩擦係数、 g は重力加速度、 x は水平座標、 t は時間である。式(1)は連続式、式(2)は運動量式であり、これらが波運動の基礎方程式となる。準線形双曲型連立偏微分方程式においては、初期条件と境界条件が連続関数であっても、解の不連続点を生じることがある。この不連続点が碎波点と対応すると考えられる(Stoker, 1957)。したがって、この不連続点を含めて解を求める

* 学生会員 丁修 東京大学大学院 土木工学専攻

** 正会員 王博 東京大学助教授 工学部土木工学科

*** 正会員 工博 東京大学教授 工学部土木工学科

夕を求める。

4. 計算結果および考察

(1) 浅水变形

規則波の浅水変形に関する特に研究が行われてきたのは、波高の変化の解明である。深海から入射した波は一定の水深まで波高が緩やかに減少し、その後急速に増大して、碎波に至る。このような波高の変化は種々の方法で明らかにされている。(Sakai・Battjes, 1980; Shuto, 1974; たとえば Horikawa, 1988)

図-3 は本研究における数値計算の結果と微小振幅波のエネルギー フラックス保存則による浅水係数の比較を示す。計算例の入射波の周期は 3 s で、波高は 3 m である。両者の結果はほぼ一致する。しかし、計算結果には反射波が含まれているため、エネルギー フラックスが減少する傾向があり、エネルギー フラックスを一定とした理論値より波高がやや小さくなると考えられる。

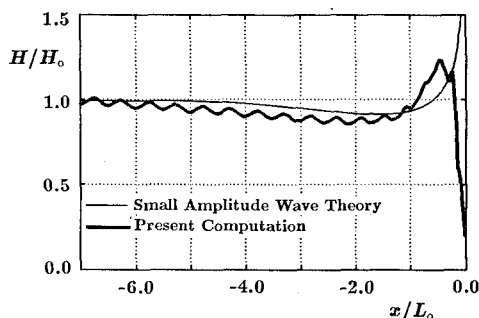


図-3 浅水係数の計算値と理論値

次に非線形性が顕著になりはじめる地点について考察する。まず、波の非線形性を評価するため、次のような非線形性指標を定義する。

このように定義した非線形性指標は、正弦波に対して 1 となり、波形の尖鋭度が高くなると大きくなる。N形の波ではその値が 1.5 となる。図-4 は一樣勾配斜面上における波形と非線形性指標の関係を示す。R が 1 より大きくなると、非線形性の影響が無視されないことがわかる。また、浅水係数 K_s は次のように変換される。

波エネルギーの浅水係数は微小振幅波のものが有限振幅波のものにほぼ等しくなる (Dibajnia ら, 1988) ことから, K' は微小振幅波の浅水係数であり, したがって R

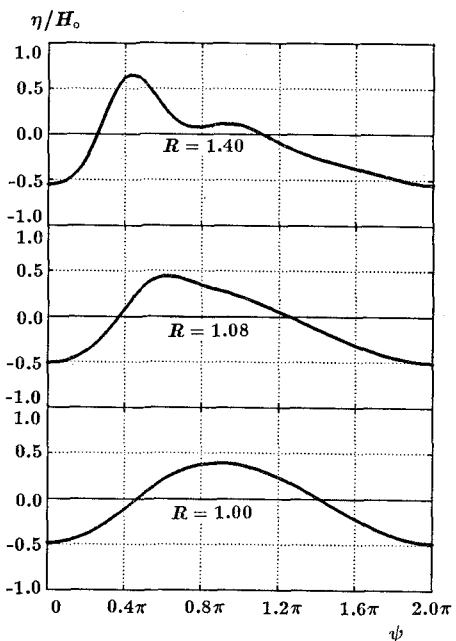


図-4 波形と非線形性指標

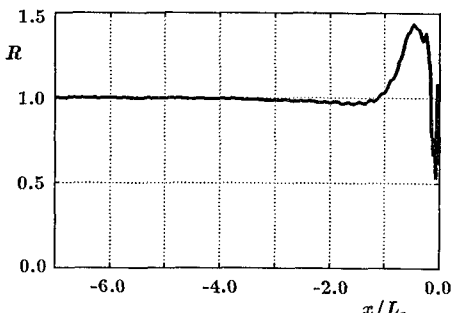


図-5 非線形性指標の変化

は有限振幅波の浅水係数と微小振幅波の浅水係数の比とほぼ同等であることがわかる。図-5は図-3の計算と同じ条件での非線形性指標の変化を示す。

深海からの波は一定の水深の領域に至るまでは非線形指標の値は 1 で、その後、碎波点に向かって 1 より大きくなる。非線形領域の始点を $4R/R=0.02$ で定義すると、入射波形勾配に対する非線形領域開始点の相対水深 h_0/L_0 は図-6 で示される。

波の非線形性はアーセル数 ($U_r = HL^2/h^3$) あるいは浅水アーセル数 ($U_s = gHT^2/h^2$) で表わされることが多い。Shuto(1974) は微小振幅波理論の適用限界は浅水アーセル数が 30 であると指摘した。しかし、ここで定義された非線形指標 $4R/R=0.02$ を用いると、限界浅水アーセル数の値は 6 となる。一方、限界条件では微小振幅波理

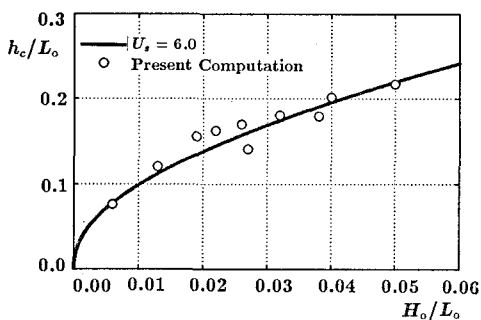


図-6 非線形条件

論による分散関係式と浅水係数が適用できるので、浅水アーセル数で表わされる限界条件も相対限界水深 h_c/L_0 と入射波波形勾配の関係に変換される。この結果と数値実験における $\Delta R/R=0.02$ の限界との比較も図-6 に示してあり、両者はよく一致している。

(2) 碎波変形

碎波変形過程は流体力学上極めて複雑な不連続現象であって、充分な解明は現在においても行われていない。一方、碎波変形は海岸工学の最も重要な課題の一つでもあり、多くの研究成果が得られている。

碎波点に生ずる最大波高、すなわち、碎波波高に関する実験的研究の成果も多く得られている。しかし、実用的な解析モデルとなると、波の非線形性と碎波変形の両方を精度よくシミュレートすることが非常にむずかしいため、高精度のモデル開発は困難である。図-7 は碎波点近傍の波高分布の計算結果と野沢(1980)の実験データとの比較例を示す。数値計算による波高が碎波点近傍で急に増大する傾向は実験結果とほぼ一致する。しかし、数値モデルでは碎波帶でのエネルギー損失を差分式の中に含まれる数値逸散で代行することになり、その精度が十分でないので、計算結果と実験結果には若干の差が生じる。

碎波波高や碎波水深など、碎波点における波のパラメ

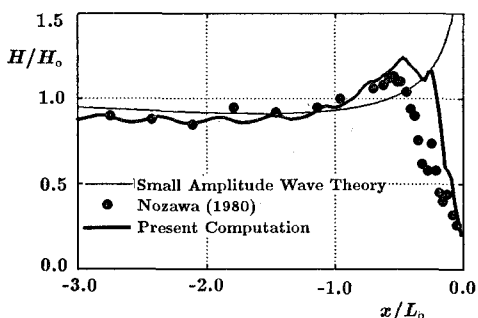


図-7 碎波近傍の波高分布

ータの間に一定の関係があるという認識に基づいて、その一般的な関係を求める研究が行われてきた。一樣水深域での碎波を進行波の極限的な状態として扱い、さらにその結果が緩い勾配上にも適用可能であると仮定して孤立波の相対碎波波高が一定となることが従来の研究で指摘されてきた。その値は求める方法によって、0.73となる説(Boussinesq, 1871; Laiton, 1960)もあるし、0.78となる説(MacCown, 1894)もある。また、0.83(Gwyther, 1900; Davies, 1952; Yamada, 1957; Lenau, 1966; Witting, 1975; Fox, 1977), 0.87(Chappeler, 1959), 1.03(Pacham, 1952)を得たものもある(榎木, 1970; Galvin, 1972; Longuet-Higgins, 1980)。これらのうち、0.83を与える理論が最も信頼性が高い。一方、Iversen(1952)およびGalvin(1968)の1/10勾配斜面上での実験データはこれよりも大きいことを示している。また、合田(1970)の碎波指標はこれをとりまとめたものである。図-8 は

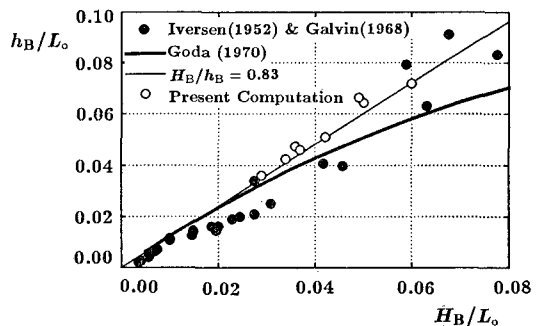


図-8 碎波相対波高

これらと数値計算の結果が比較されている。図より、計算結果は合田の碎波指標に比べて波高水深比が小さくなり、孤立波の波高水深比に近い値を与えることがわかる。碎波水深と入射波の波形勾配の関係についても合田(1970)がとりまとめている。図-9 で合田の結果と数値計算の結果を比較すると、計算では碎波水深を過小評価していることがわかる。これは、図-8 の計算に際して深海および極浅海で十分小さくなる、式(2)中の第4項と第5項を全領域にわたって無視したことが原因の一つであると考えられる。また、本研究の理論では、碎波点近傍において圧力分布の仮定が必ずしも正確ではないことも重要な原因であろう。

碎波高と入射波波形勾配との関係についていろいろな研究が行われてきたが、そのうち、Komar・Gaghan(1973)、合田(1970)と Sunamura(1982)の結果を取り上げて、数値計算の結果と比較する。図-10にその結果を示す。合田の経験式は多くの実験データをまとめたもので、信頼度が高いと考えてよい。図から、碎波波高の計

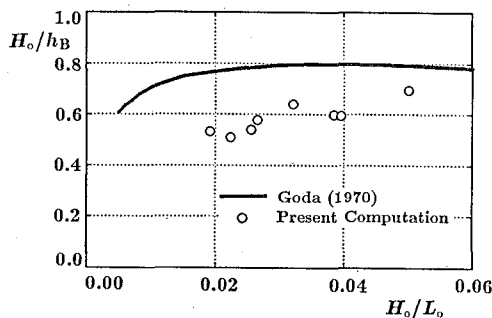


図-9 碎波水深と入射波形勾配との関係

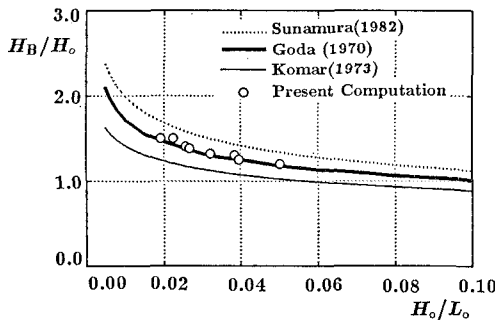


図-10 碎波波高と入射波形勾配との関係

算結果は合田の経験式とよく合うことがわかる。

5. まとめ

準線形双曲型の波運動の基礎方程式を用いて、一様勾配の傾斜海浜上での波の浅水変形および碎波変形を一括して計算することを試みた。数値計算には有限特性曲線を用いた。計算の結果を理論的および経験的な従来の研究成果と比較した。その結果、以下の結論が得られた。

- 1) 有限特性曲線法は不連続点(碎波点)を有する場合にも適用できる。
- 2) 波の浅水変形の計算は従来のエネルギーフラックス法での結果とほぼ一致する。
- 3) 波の非線形性については、ここで定義した非線形性指標で評価すると、浅水アーセル数による限界条件とよく一致する。
- 4) 碎波点近傍の波高分布を実験データと比較したところ、相対碎波波高は理論的および実験的な従来の結果とよく一致した。また、碎波水深、碎波波高と入射波波形

勾配との関係も、従来の実験結果と比較的よく一致した。

- 5) 碎波変形の計算に対しても合理的な結果が得られた。

なお、数値モデルに海底の摩擦による運動量損失を取り込む方法は必ずしも一般的なものでない、その一般的な法則が得られれば、海浜上での波の run-up 計算にも応用できると考えられる。

参考文献

- Dibajnia, M.・磯部雅彦・渡辺 晃 (1988): 有限振幅波および微小振幅の浅水変形の比較、第43回年次学術講演会講演概要集、第2部、pp. 580~581.
- 合田良実 (1970): 碎波指標の整理について、土木学会論文報告集、No. 108, pp. 39~49.
- 榎木 亨 (1973): 碎波特論、水工学シリーズ 73-B-2、土木学会水理委員会、pp. B-2-1~B-2-38.
- 野沢は幸 (1980): 斜面上の波の底面流速に関する研究、東京大学工学部土木工学科卒業論文、125p.
- 余 錫平・磯部雅彦・渡辺 晃 (1989): 特性曲線法を用いた没水平板周辺の波浪場の非線形解析、海岸工学論文集、第36巻、pp. 524~528.
- Galvin, C. J. (1968): Breaking type classification on three laboratory beaches, J. Geophys. Res., Vol. 73, pp. 175~200.
- Galvin, C. J. (1972): Wave breaking in shallow waters, in Waves on Beaches and Resulting Sediment Transport, ed. by Meyer, R. E., Academic press, pp. 413~456.
- Horiikawa, K. (ed) (1988): Nearshore dynamics and coastal processes, University of Tokyo press, 522p.
- Iversen, H. W. (1952): Waves and breakers in shoaling water, Proc. 3rd Conf. on Coastal Eng., ASCE, pp. 1~12.
- Komar, R. P. and Gaughan, M. K. (1973): Airy wave theory and breaker height prediction, Proc. 13th Conf. on Coastal Eng., ASCE, Vol. 1, pp. 405~418.
- Lax, P. D. (1954): Weak solution of hyperbolic equations and their numerical computation, Commu. Pure and Applied Math., Vol. 7, pp. 159~193.
- Lin, P. (1952): Numerical analysis of continuous unsteady flow in open channels, Trans. Amer. Geophys. Union, Vol. 33, No. 2, pp. 226~234.
- Longuet-Higgins, M. S. (1980): The unsolved problem of breaking waves, Proc. 17th Conf. on Coastal Eng., ASCE, Vol. 1, pp. 1~29.
- Sakai, T. and Battjes, J. A. (1980): Wave shoaling calculated from Cokelet's theory, Coastal Eng., Vol. 4, pp. 65~84.
- Shuto, N. (1974): Nonlinear long waves in a channel of variable section, Coastal Eng. in Japan, Vol. 17, pp. 1~12.
- Stoker, J. J. (1957): Water waves, Interscience Publisher, 567p.
- Sunamura, T. (1982): Determination of breaker height and depth in field, Ann. Rep. of Tsukuba Univ., No. 8, pp. 53~54.